



La Matematica nella cultura del 2000

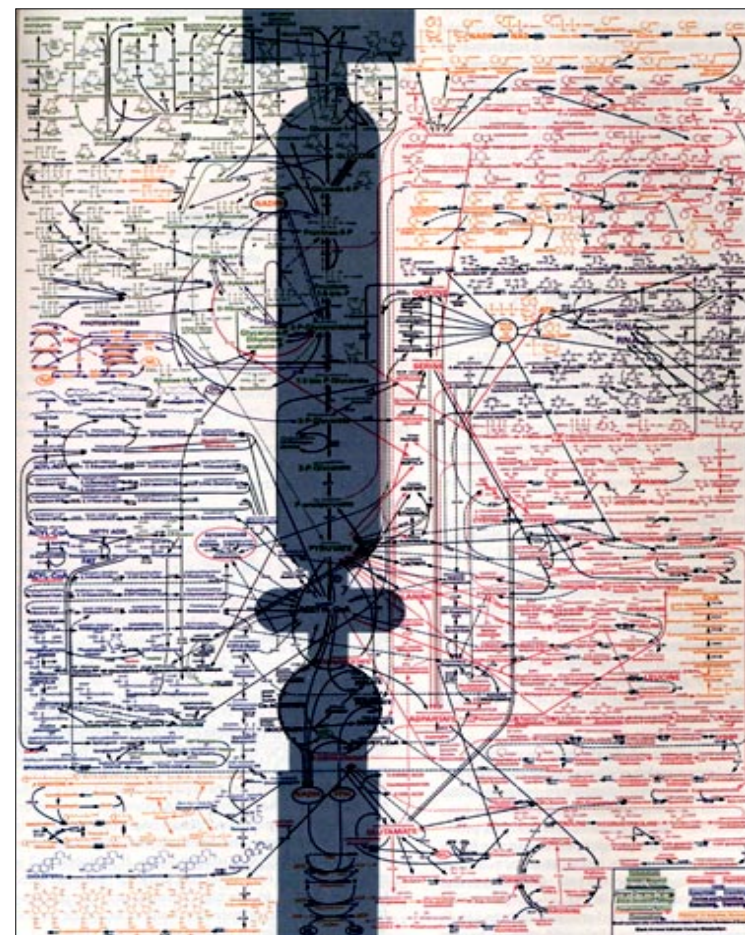
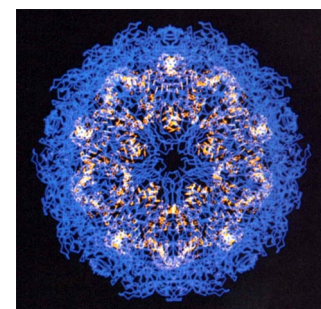
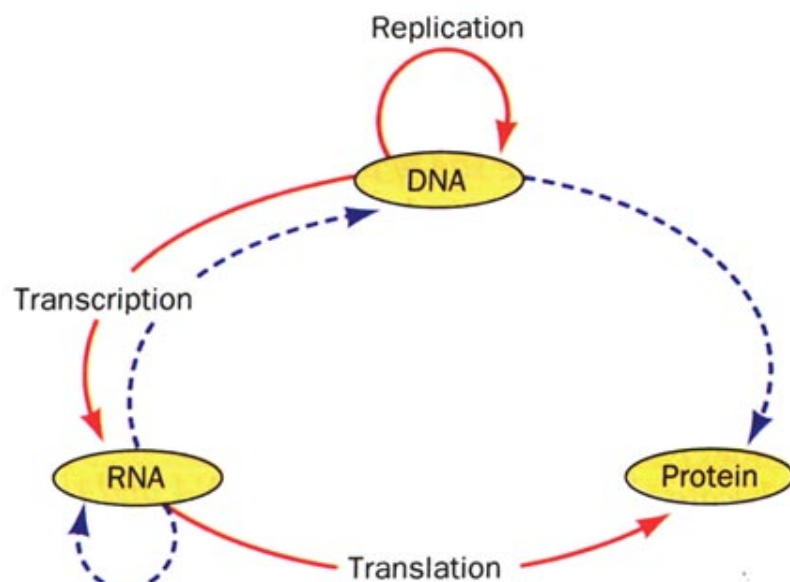
PACE

MATEMATICA E BIOLOGIA

La geometria del DNA

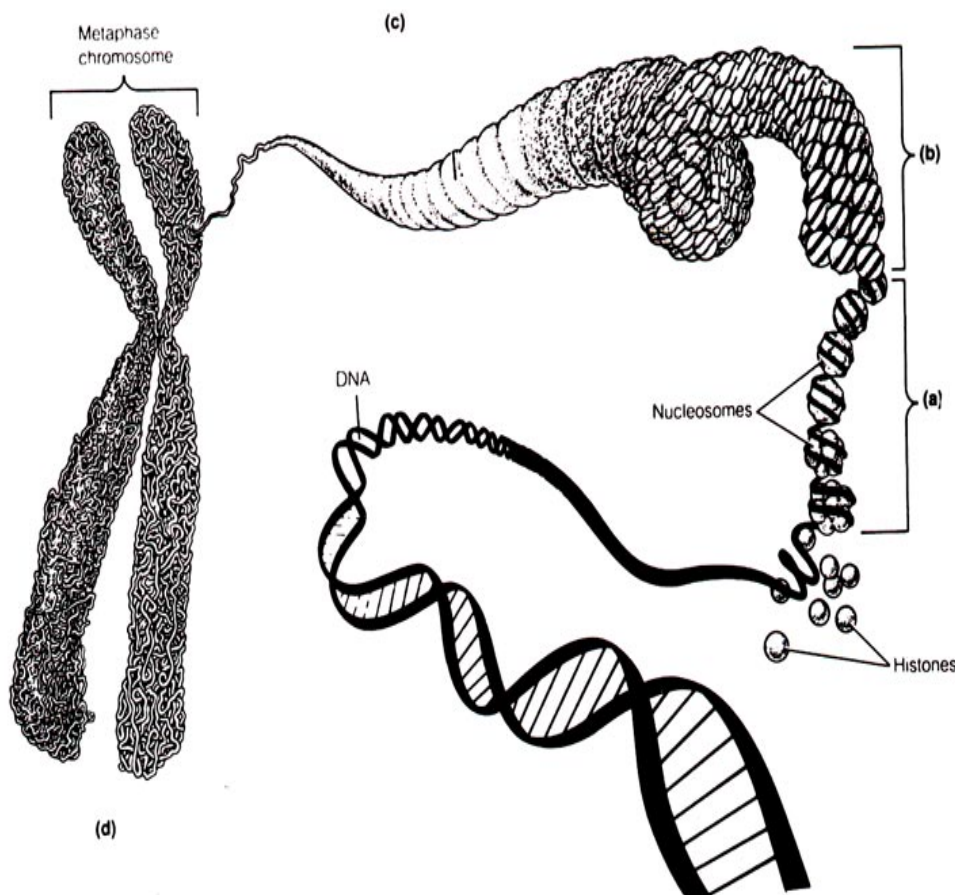


Il dogma centrale





I cromosomi

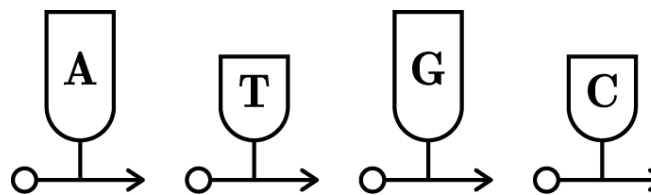
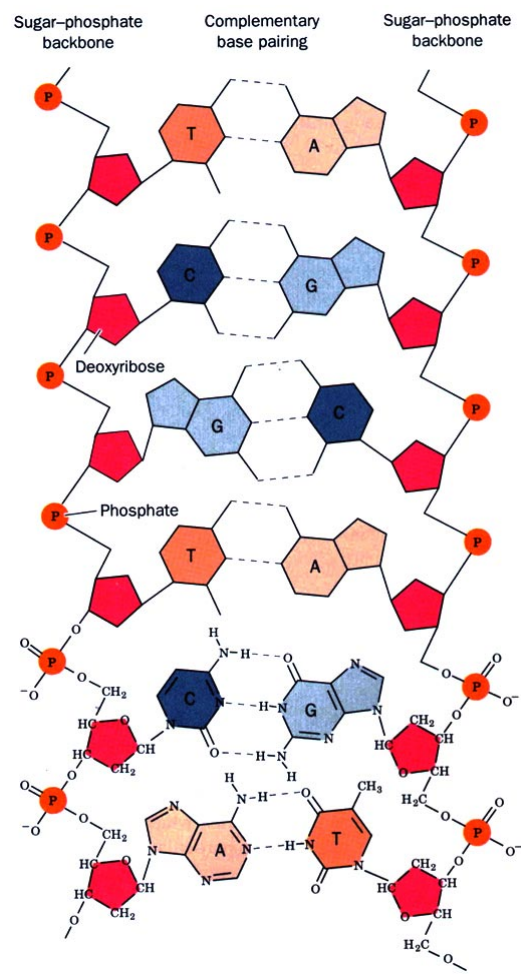


4/5 livelli con
fattore di scala
~ 1/10 ognuno
lung. ~ 1m

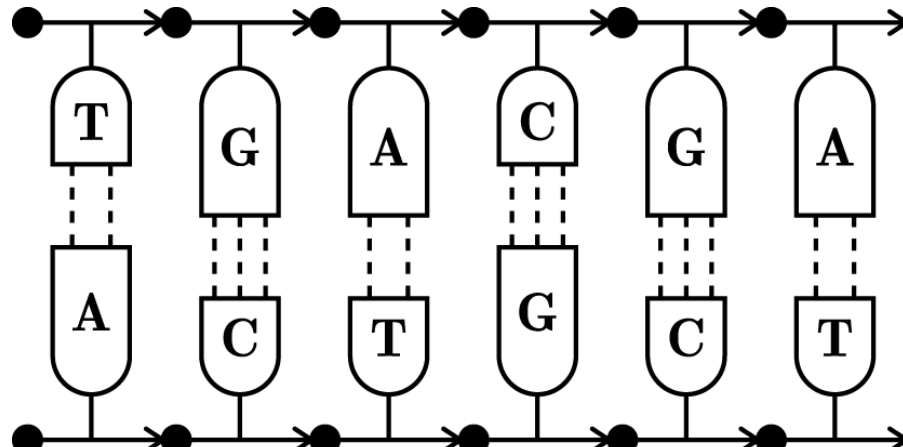
$$\begin{aligned} \text{Dim}_T &= 1 \\ \text{Dim}_H &> 2 \end{aligned}$$



DNA e codice genetico

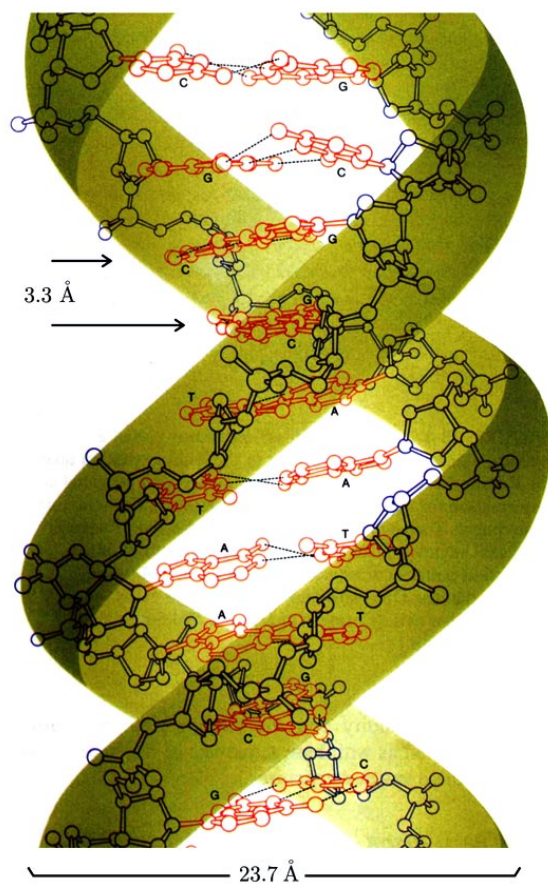


ADENINA \leftrightarrow **TIMINA**
GUANINA \leftrightarrow **CITOSINA**



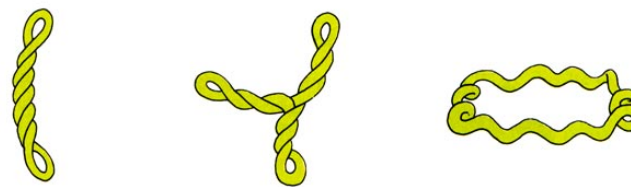
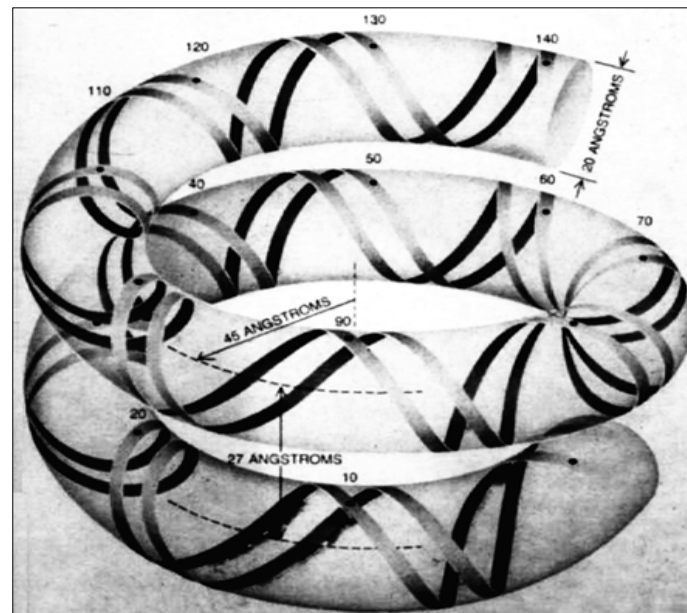


La doppia elica



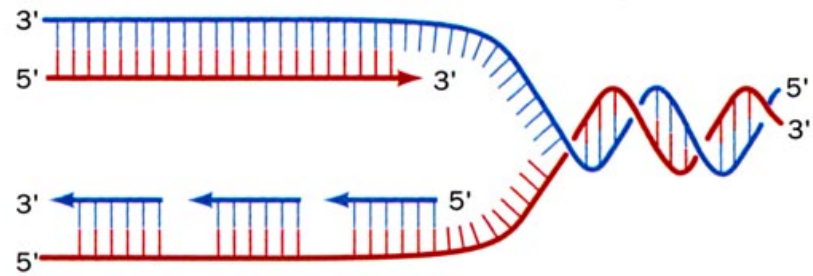
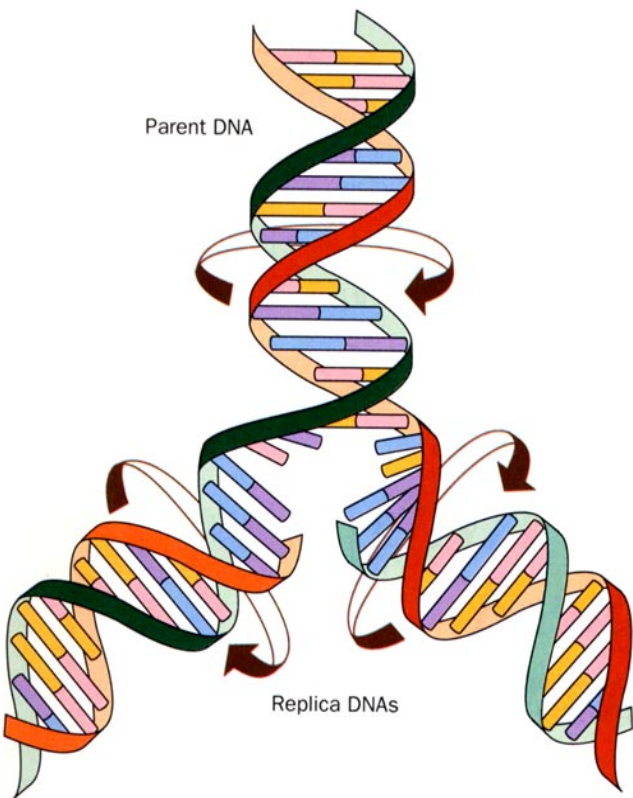
$$p = 10 \text{ basi} \text{ (10.5 in sol.)}$$

Super-avvitamento





La duplicazione



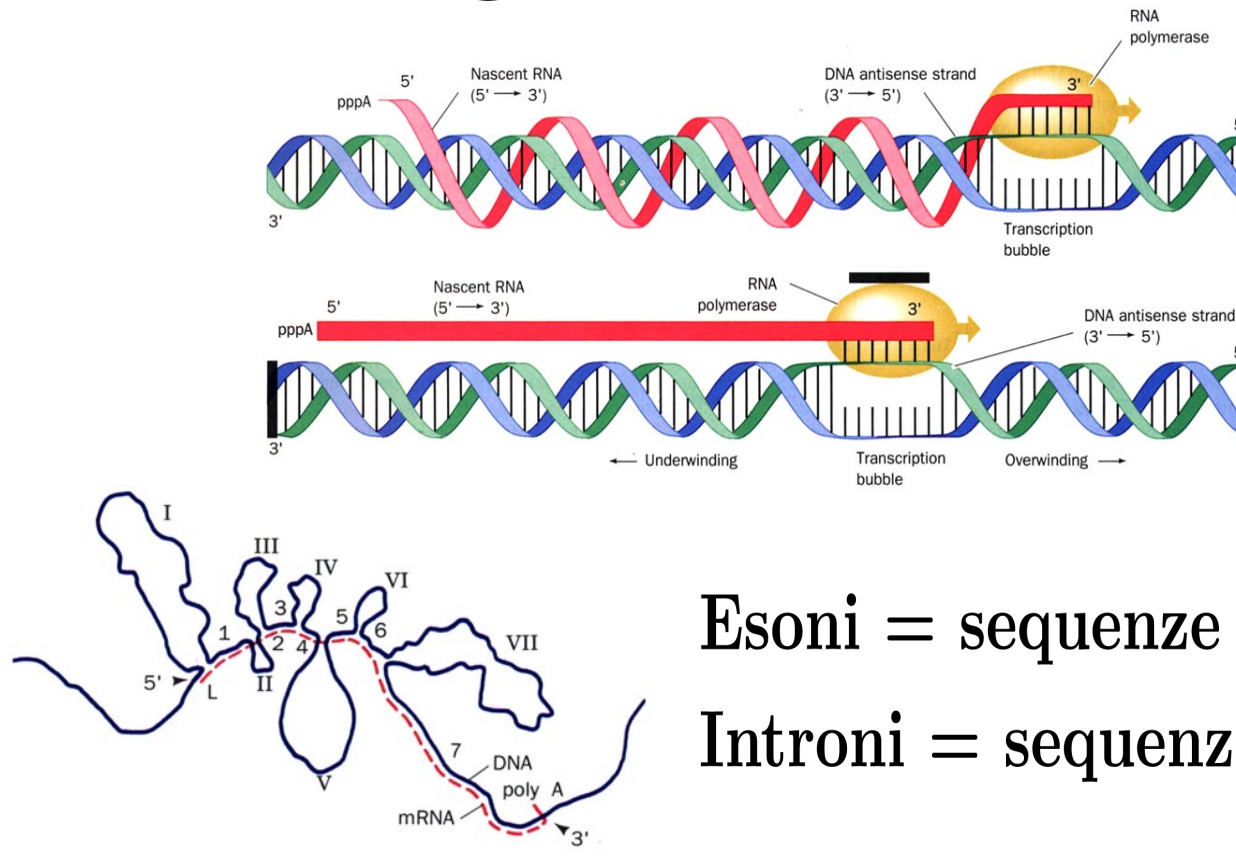
100-1000 basi/sec

Computer molecolare
 10^{20} oper/sec
 10^{24} byte/cm²



La trascrizione dei geni

Gene = segmento di DNA \leadsto RNA



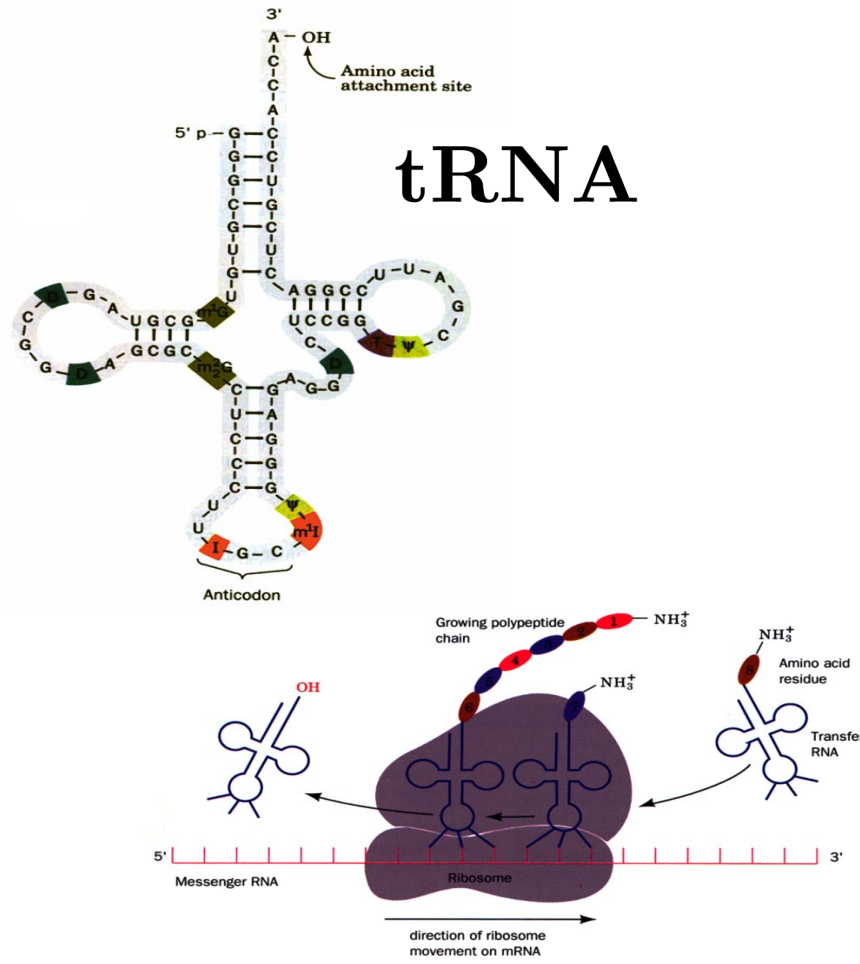
Esoni = sequenze esprese
Introni = sequenze insprese



Traduzione e sintesi proteica

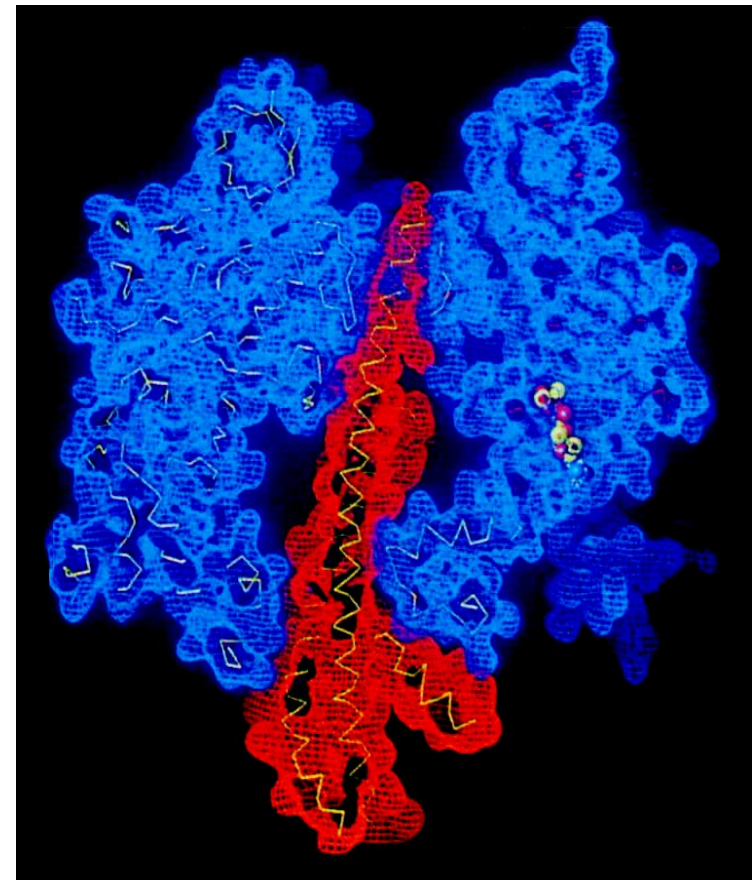
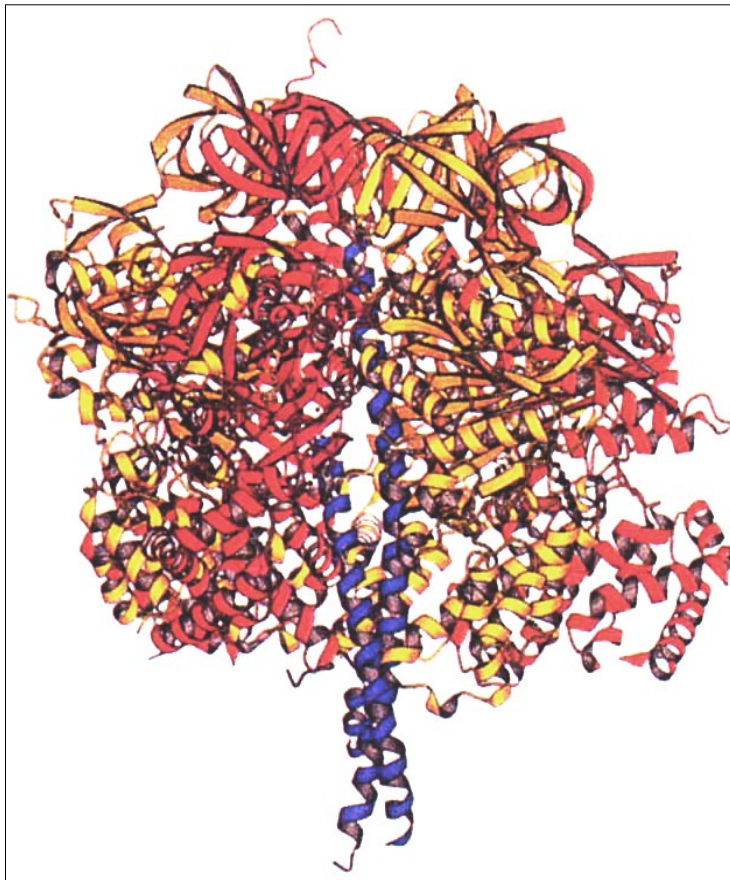
60 codoni \sim 20 aminoacidi

| First position (5' end) | Second position | | | | Third position (3' end) |
|----------------------------|----------------------|---------|----------|----------|----------------------------|
| | U | C | A | G | |
| U | UUU Phe | UCU Ser | UAU Tyr | UGU Cys | U |
| | UUC | UCC | UAC | UGC | C |
| | UUA Leu | UCA | UAA Stop | UGA Stop | A |
| | UUG | UCG | UAG Stop | UGG Trp | G |
| C | CUU | CCU | CAU His | CGU | U |
| | CUC Leu | CCC Pro | CAC | CGC Arg | C |
| | CUA | CCA | CAA Gln | CGA | A |
| | CUG | CCG | CAG | CGG | G |
| A | AUU | ACU | AAU Asn | AGU Ser | U |
| | AUC Ile | ACC Thr | AAC | AGC Ser | C |
| | AUA | ACA | AAA Lys | AGA Arg | A |
| | AUG Met ^b | ACG | AAG Glu | AGG | G |
| G | GUU | GCU | GAU Asp | GGU | U |
| | GUC Val | GCC Ala | GAC | GGC Gly | C |
| | GUA | GCA | GAA Glu | GGA | A |
| | GUG | GCG | GAG | GGG | G |





La struttura delle proteine

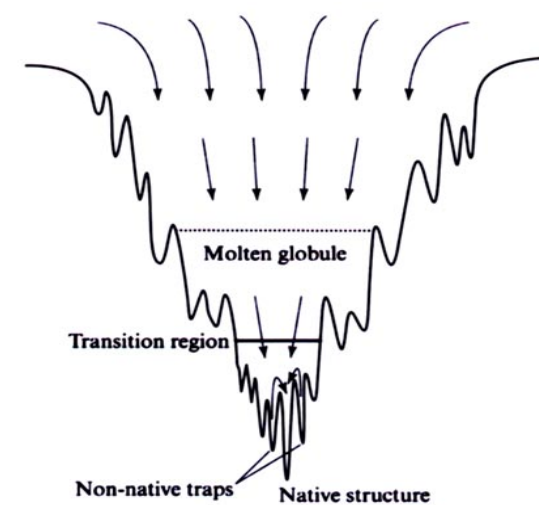
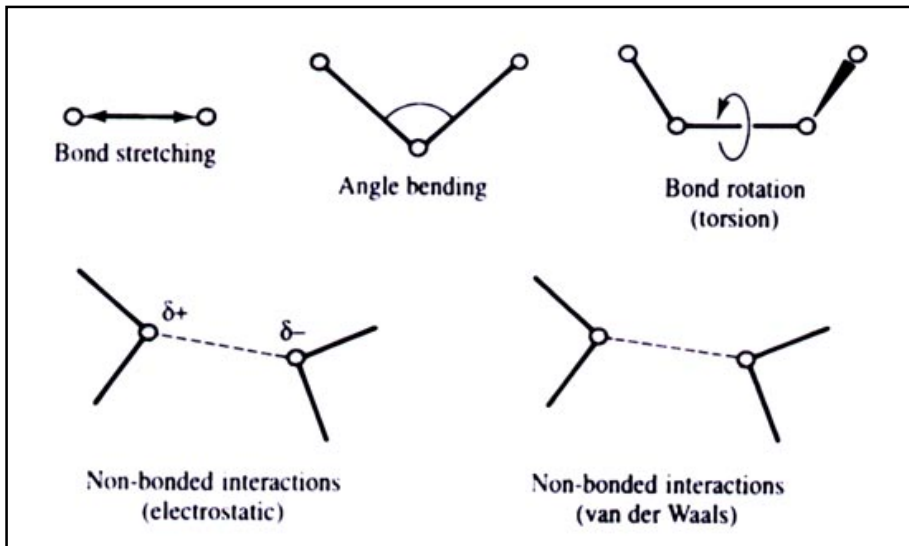




Modelli molecolari



$$E = \sum_{leg} C_l (r_l - r_l^0)^2 + \sum_{ang} C_a (\theta_a - \theta_a^0)^2 + \sum_{tor} C_t \cos(n_t \omega_t - \phi_t) + \\ + \sum_{i < j} \frac{q_i q_j}{Dr_{ij}} + \sum_{i < j} 4D_{ij} \left(\left(\frac{C_{ij}}{r_{ij}} \right)^{12} - \left(\frac{C_{ij}}{r_{ij}} \right)^6 \right)$$

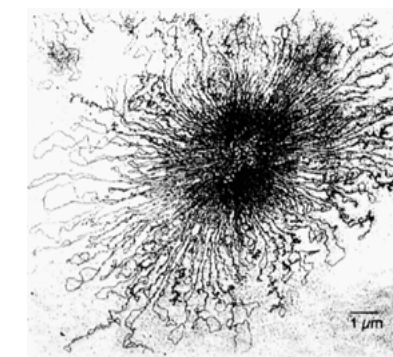
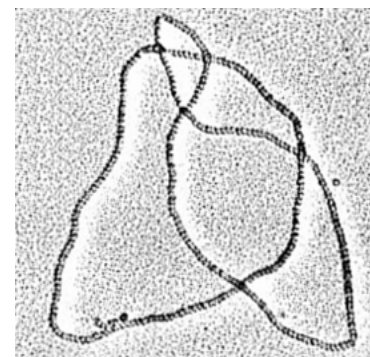
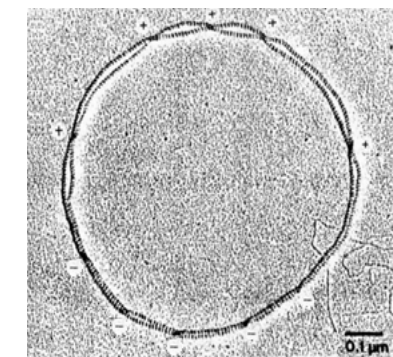
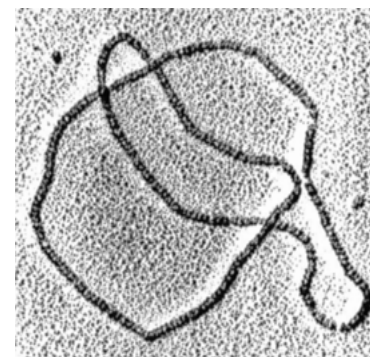
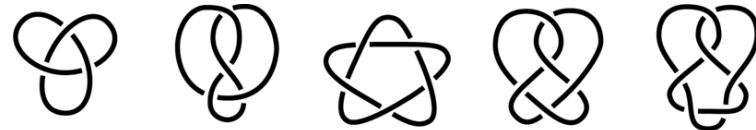




Nodi topologici



$K \subset R^3$ curva chiusa (a meno di deform. topologiche)



$c(K) =$ numero minimo di incroci dei diagrammi di K



Nodi geometrici



$K \subset R^3$ curva chiusa (a meno di isometrie euclidee)



$$E = \int \left(\frac{1}{|\alpha(s) - \alpha(t)|^2} - \frac{1}{|s - t|^2} \right) ds dt$$

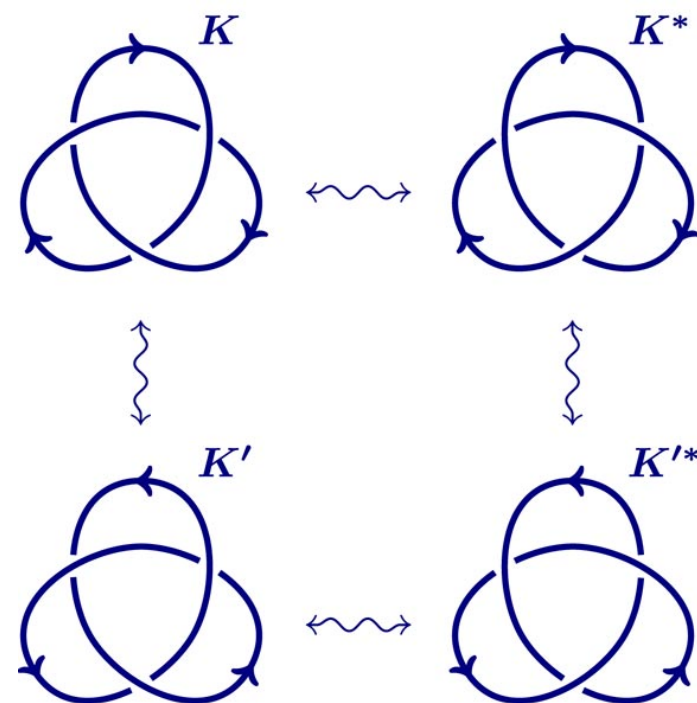
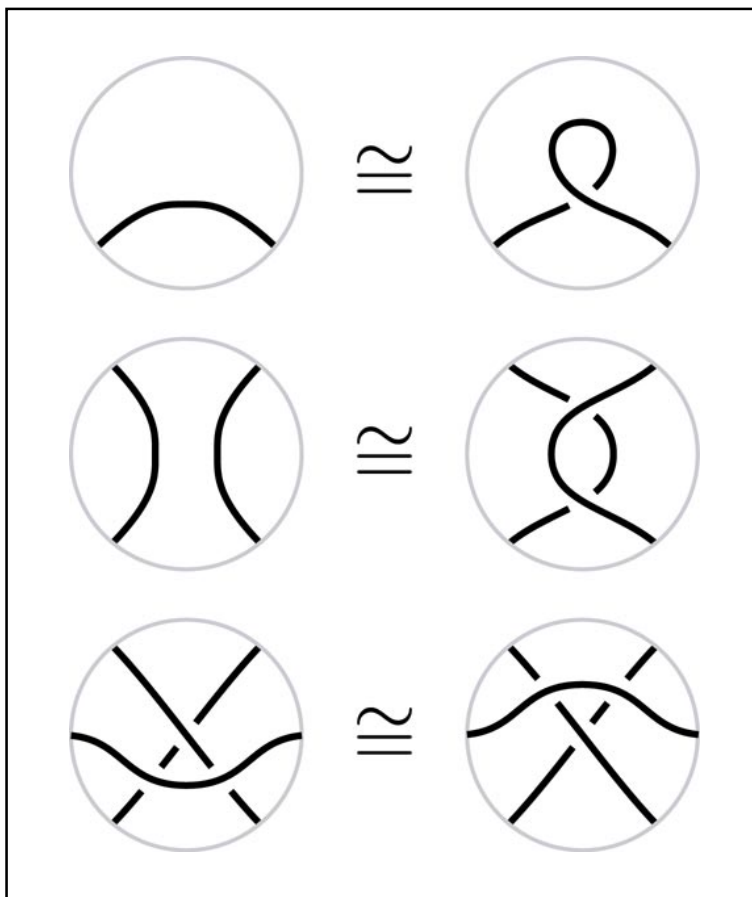
$C(K)$ = numero medio di incroci delle proiezioni di K



Isotopie e simmetrie



Movimenti di Reidemeister

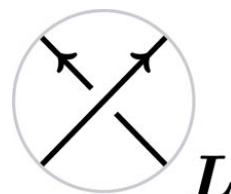
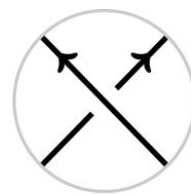
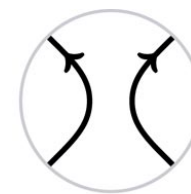


$K \cong K'$ (K invertibile)

$K \not\cong K^*$ (K chirale)

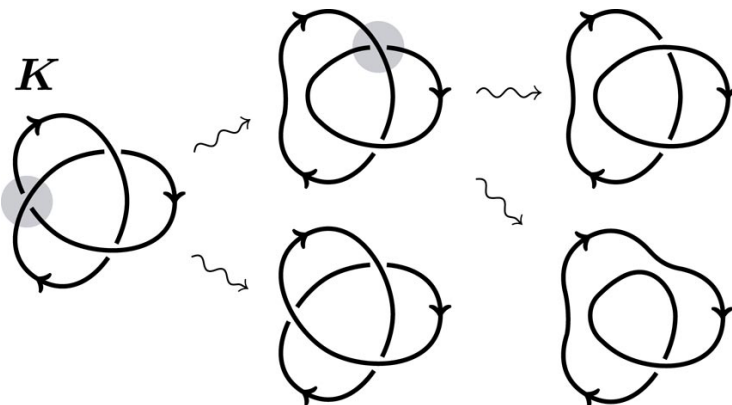


Polinomio di Jones

 L_+  L_-  L_0

$$V(\text{nodo banale}) = 1$$

$$t^{-1} V(L_+) - t V(L_-) = (t^{-1/2} - t^{1/2}) V(L_0)$$

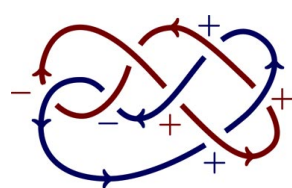


$$V(K) = -t^4 + t^3 + t$$

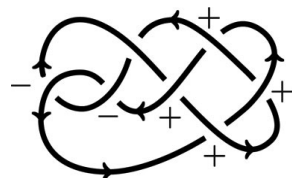
$$V(K^*) = -t^{-4} + t^{-3} + t^{-1}$$



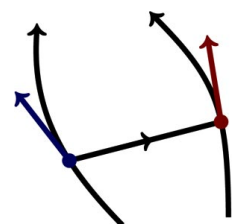
Indice di allacciamento



$$\text{Lk}(K_1, K_2) = \left| \left\{ \begin{array}{c} \nearrow \\ \searrow \end{array} \right\} \right| - \left| \left\{ \begin{array}{c} \searrow \\ \nearrow \end{array} \right\} \right|$$



$$= \frac{1}{2} \left(\left| \left\{ \begin{array}{c} \nearrow \\ \searrow \end{array} \right\} \right| - \left| \left\{ \begin{array}{c} \searrow \\ \nearrow \end{array} \right\} \right| \right)$$



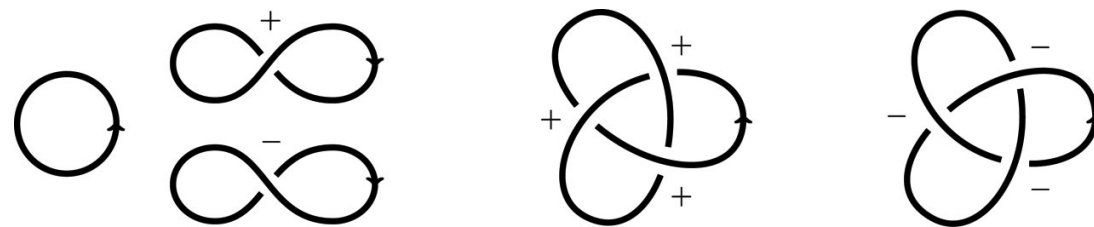
$$= \frac{1}{4\pi} \cdot \frac{\alpha(s) - \beta(t)}{\|\alpha(s) - \beta(t)\|^3} \cdot \alpha'(s) \times \beta'(t) \, dsdt$$

$\text{Lk}(K_1, K_2)$ è un invariante topologico

$$\text{Lk}(K'_1, K_2) = \text{Lk}(K_1, K'_2) = -\text{Lk}(K_1, K_2)$$



Indice di contorcimento



$$\text{Wr}(K) = \frac{1}{4\pi} \int_{S^2} \left(\left| \left\{ \begin{array}{c} \nearrow \\ \nwarrow \end{array} \right\} \right| - \left| \left\{ \begin{array}{c} \swarrow \\ \nwarrow \end{array} \right\} \right| \right) d\sigma$$

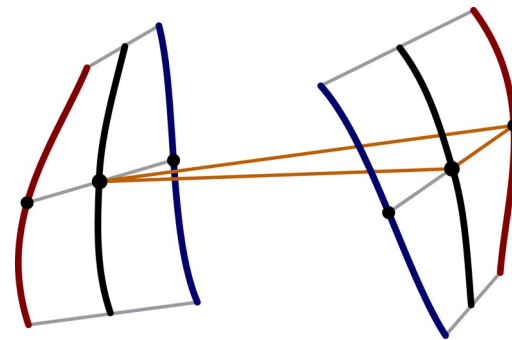
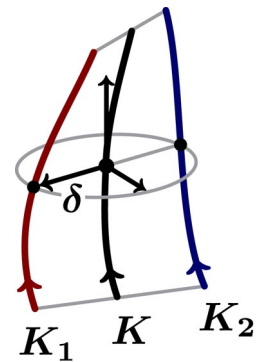
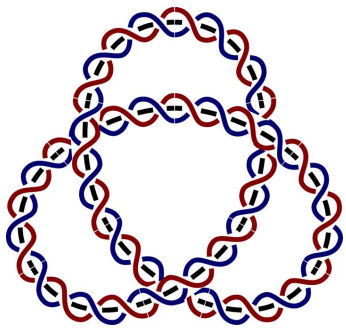
$$= \frac{1}{4\pi} \int \frac{\alpha(s) - \alpha(t)}{\|\alpha(s) - \alpha(t)\|^3} \cdot \alpha'(s) \times \alpha'(t) ds dt$$

$\text{Wr}(K)$ è un invariante geometrico ($|\text{Wr}(K)| < C(K)$)

$$\text{Wr}(K') = \text{Wr}(K) \quad \text{e} \quad \text{Wr}(K^*) = -\text{Wr}(K)$$



Il teorema di White



$$\text{Lk}(K) = \text{Lk}(K, K_{1,2}) = \text{Lk}(K_1, K_2)$$

$$\text{Tw}(K) = \frac{1}{2\pi} \int \frac{\delta'(s)}{\|\delta(s)\|^2} \cdot \delta(s) \times \alpha'(s) ds$$

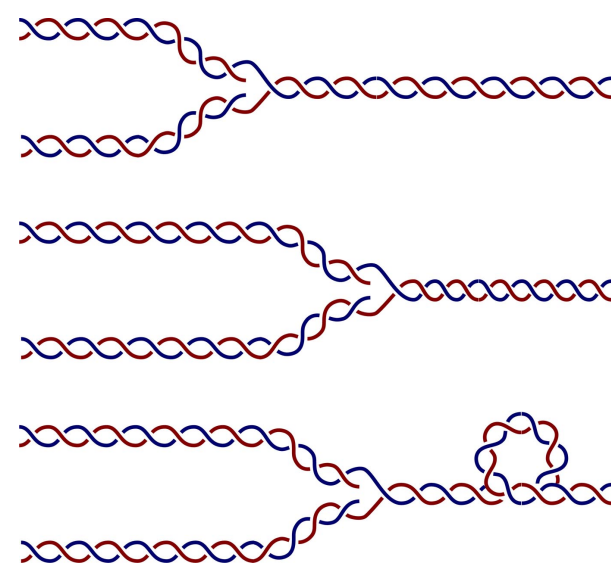
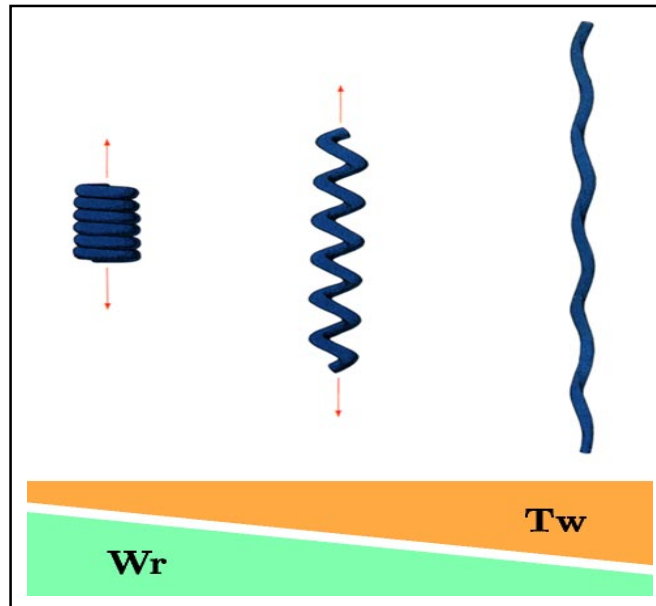
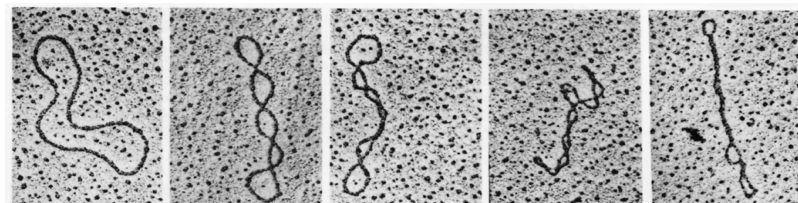
$$\boxed{\text{Lk}(K) = \text{Wr}(K) + \text{Tw}(K)}$$



Super-avvitamento



$$\text{Wr}(K_0) = 0 \quad \text{Tw}(K_0) = N/10.5$$

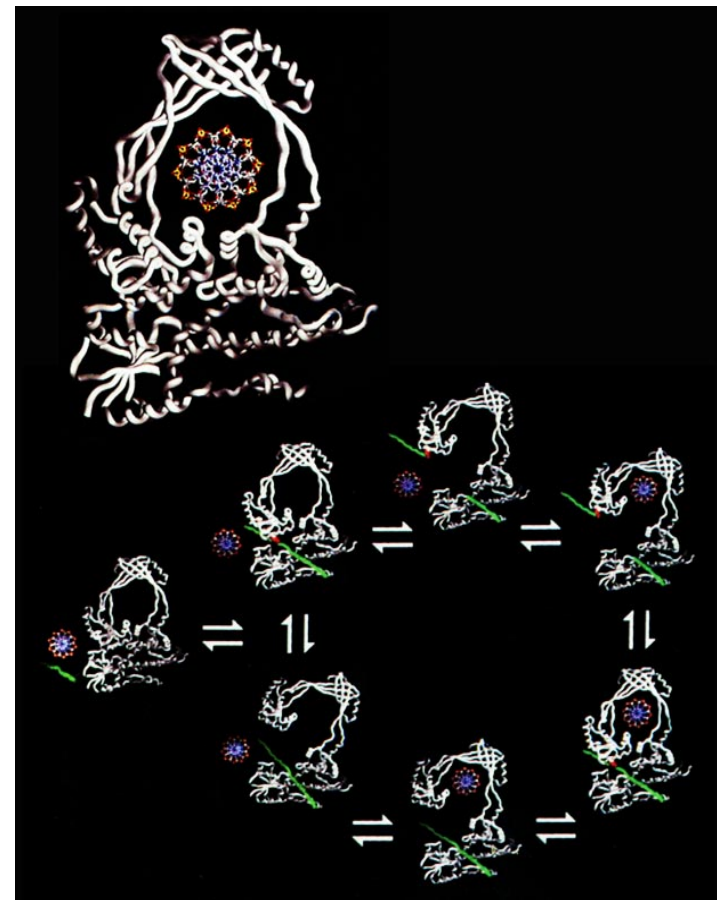
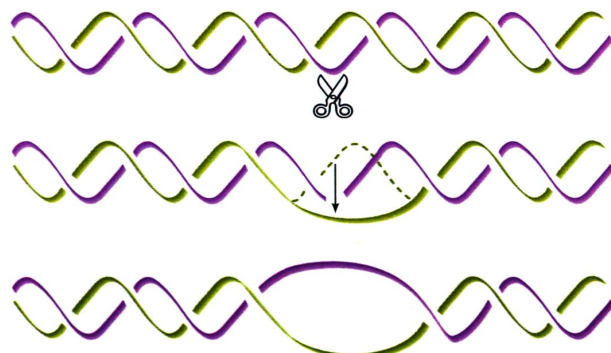
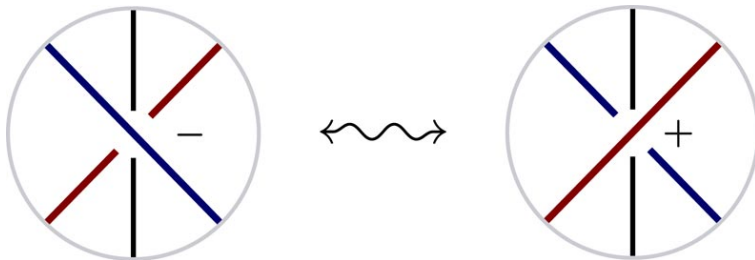


$$\sigma(K) = \frac{\text{Lk}(K) - \text{Lk}(K_0)}{\text{Lk}(K_0)}$$

$$\sigma(K) \sim -6\% (3/4 \text{ Wr} + 1/4 \text{ Tw})$$

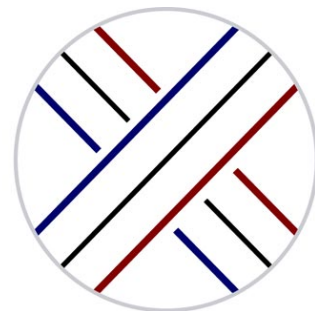
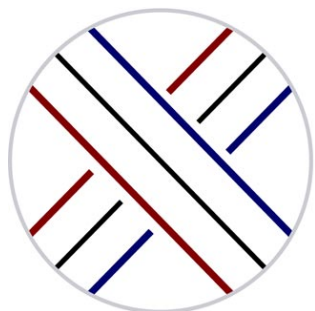


Topoisomerasi I

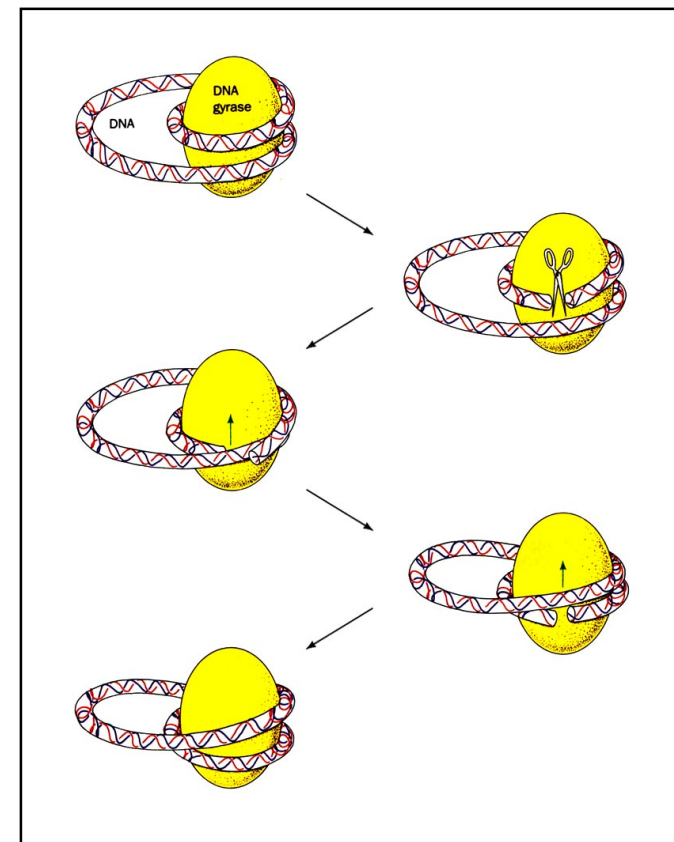
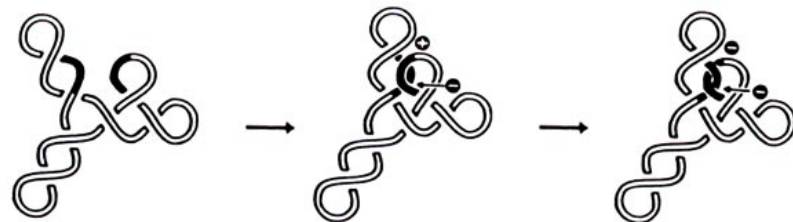




Topoisomerasi II

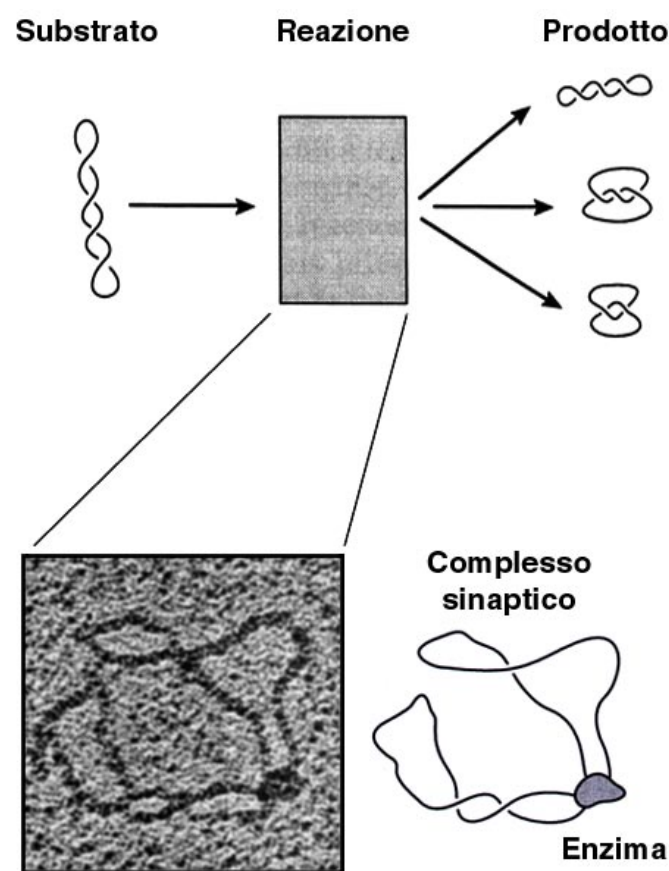


$$\begin{aligned}\Delta Lk &= \pm 2 \\ \Delta Wr &\sim \pm 2 \\ \Delta Tw &\sim 0\end{aligned}$$

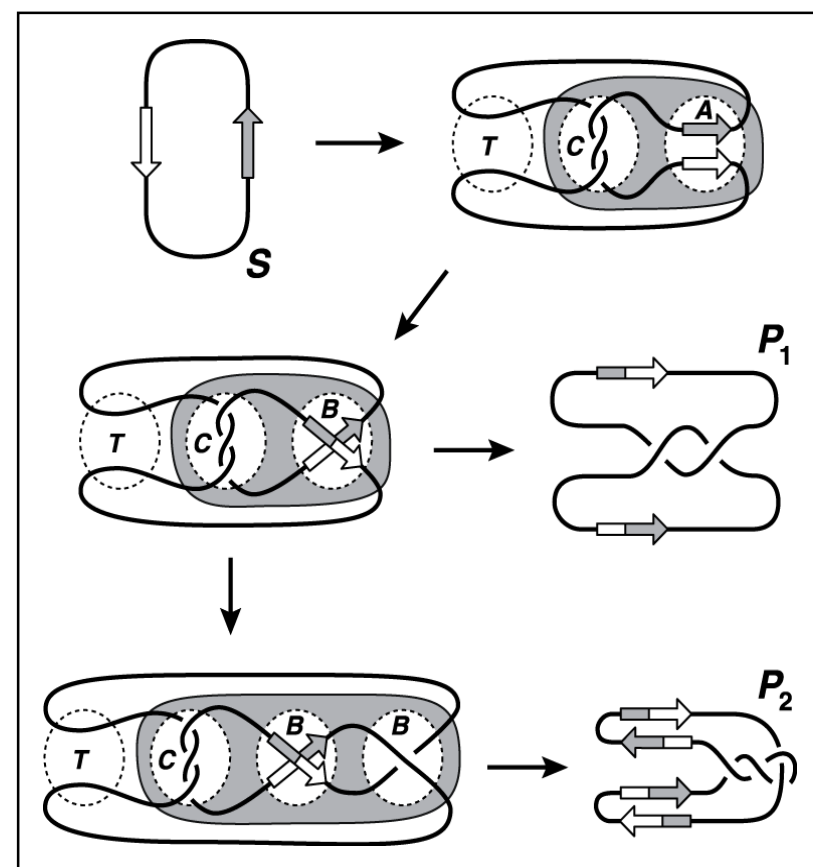


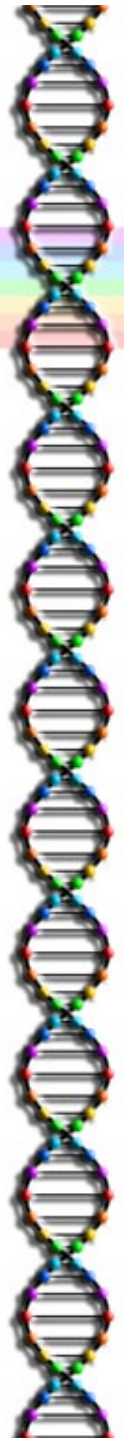


Enzimi e topologia

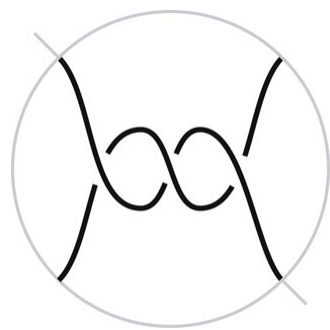


Risolvasi Tn3 (modello di Sumners)





Matasse razionali



$T(3)$



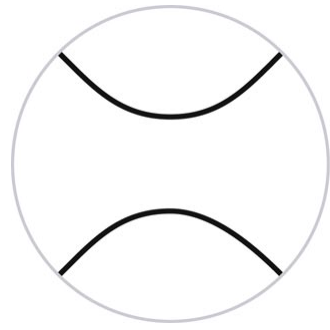
$T(2, 3)$



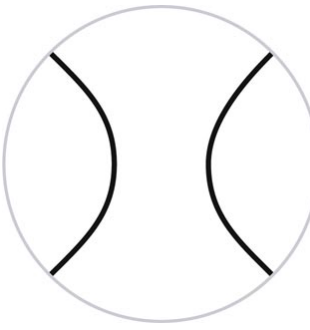
$T(-4, 2, 3)$



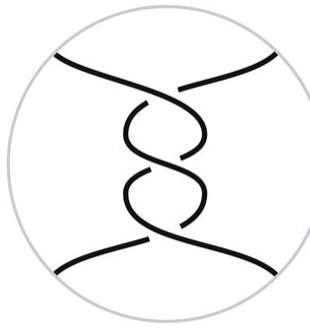
$T(-1, -4, 2, 3)$



$T(0)$



$T(0, 0)$



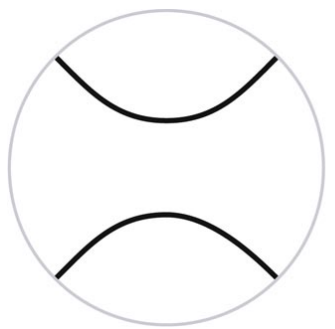
$T(0, 3)$



non razionale



Il teorema di Conway

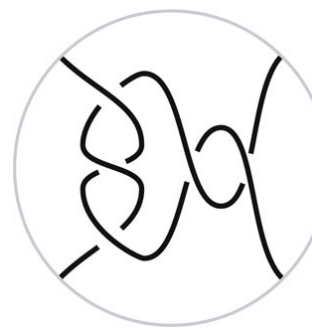


$T(0)$

\approx

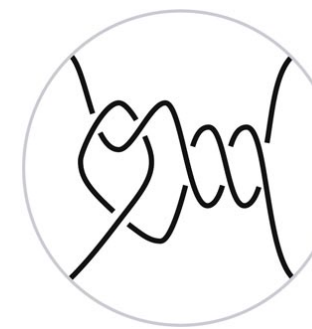


$T(1, -1)$



$T(2, 3)$

\approx

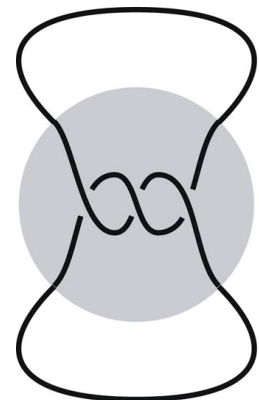


$T(3, -1, -2)$

$$T(a_1, a_2, \dots, a_n) \longleftrightarrow a_1 + \cfrac{1}{a_2 + \cfrac{1}{\ddots + \cfrac{1}{a_{n-1} + \cfrac{1}{a_n}}}}$$

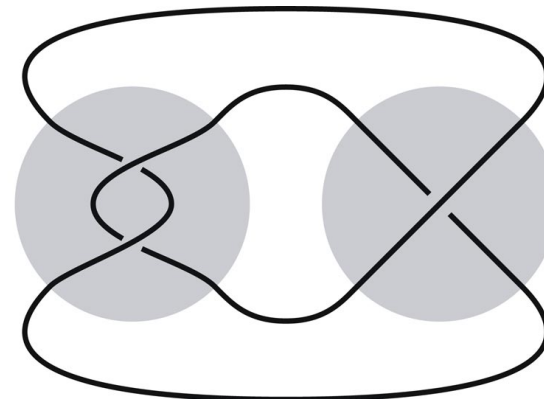


Equazioni topologiche



$N(3)$

\approx



$N(-1/2 \dotplus -1)$

$$N\left(\frac{a}{b}\right) \cong N\left(\frac{c}{d}\right) \Leftrightarrow a = c \text{ e } b = d^{\pm 1} \pmod{a}$$

$$N\left(\frac{a}{b} \dotplus \frac{c}{d}\right) \cong N\left(\frac{ad + bc}{a'd + b'c}\right) \text{ con } a'b - ab' = 1$$



Matasse e DNA



Reazione: $nS \sim n_1 P_1 + n_2 P_2 + n_3 P_3 + \dots$

Separazione per elettroforesi: $v_{P_k} \propto C(P_k)$

Determinazione di T e P_1, P_2, \dots

$$\begin{cases} N(C + A) = S \\ N(C + k B) = P_k \end{cases} \sim (A), B, C$$

